

NORGES TEKNISK-NATURVITENSKAPELIGE UNIVERSITET  
INSTITUTT FOR FYSIKK

Faglig kontakt under eksamen:

Navn: Jan Myrheim

Telefon: 73 59 36 53 (mobil 90 07 51 72)

### Eksamen i fag FY3403 Partikkelfysikk

Onsdag 10. desember 2008

Tid: 09.00–13.00

Sensurfrist: Onsdag 31. desember 2008

Tillatte hjelpemidler: Kalkulator, matematiske tabeller.

Alle deloppgaver teller likt ved sensuren.

#### Oppgave 1:

I et eksperiment skyter vi protoner mot protoner eller nøytroner som ligger i ro.

a) Hvis vi ser bort fra at  $\Delta^+(1232)$  er en ganske bred resonans, hvor stor impuls og energi må protonene minst ha for at reaksjonen  $p + p \rightarrow p + \Delta^+$  skal være mulig?

b) Hva er forholdet mellom tverrsnittene for de to reaksjonene

$$p + p \rightarrow p + \Delta^+ \quad \text{og} \quad p + p \rightarrow n + \Delta^{++} ?$$

Tabell over Clebsch–Gordan-koeffisienter er vedlagt.

c) Hva er forholdet mellom tverrsnittene for de to reaksjonene

$$p + p \rightarrow p + \Delta^+ \quad \text{og} \quad p + n \rightarrow n + \Delta^+ ?$$

d) Hva er forholdet mellom følgende to tverrsnitt for produksjon av  $\pi$ -mesoner,

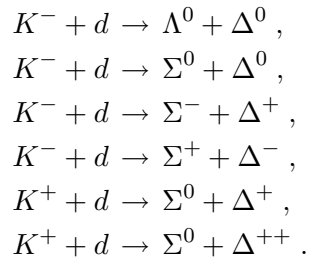
$$p + p \rightarrow p + p + \pi^0 \quad \text{og} \quad p + p \rightarrow p + n + \pi^+,$$

dersom hver reaksjon skjer via en mellomtilstand med en  $\Delta$ -resonans? Altså:

$$\begin{aligned} p + p &\rightarrow p + \Delta^+ \rightarrow p + p + \pi^0, \\ p + p &\rightarrow p + \Delta^+ \rightarrow p + n + \pi^+, \\ p + p &\rightarrow n + \Delta^{++} \rightarrow n + p + \pi^+. \end{aligned}$$

**Oppgave 2:**

- a) Hvilken (eller hvilke) av de følgende reaksjonene har størst tverrsnitt, og hvor store er de andre tverrsnittene i forhold til det største?



Hvis du mener at noen av reaksjonene ikke er mulige, forklar hvorfor.

- b)  $\Lambda^0(1116)$  desintegrerer 63,9% til  $p + \pi^-$  og 35,8% til  $n + \pi^0$ . Den midlere levetiden er  $2,6 \times 10^{-10}$  s.

Skjer det ved sterk, elektromagnetisk eller svak vekselvirkning? Begrunn svaret.

Er forgreningsforholdet konsistent med den omtrentlige utvalgsregelen for isospinn, at  $\Delta I = 1/2$ ?

- c)  $\Sigma^-(1197)$  desintegrerer 99,8% til  $n + \pi^-$ , med en levetid på  $1,5 \times 10^{-10}$  s. Hva er isospinnet i slutt-tilstanden?

$\Sigma^+(1189)$  desintegrerer 51,6% til  $p + \pi^0$  og 48,3% til  $n + \pi^+$ , med en levetid på  $8,0 \times 10^{-11}$  s. Er det mulig å si noe om isospinnet i slutt-tilstanden?

$\Sigma^0(1193)$  desintegrerer 100% til  $\Lambda^0 + \gamma$ , med en midlere levetid på  $7,4 \times 10^{-20}$  s.

Hvorfor observeres ikke, for eksempel,  $\Sigma^0 \rightarrow p + \pi^-$  eller  $\Sigma^0 \rightarrow n + \pi^0$ ?

- d) Ved en semileptonisk desintegrasjon av et hadron (en partikkel med sterk vekselvirkning) inneholder slutt-tilstanden både hadroner og leptoner.

$\Sigma^-$  har tre semileptoniske desintegrasjonsmoder, nemlig  $n + e^- + \bar{\nu}_e$  (0,10%),  $n + \mu^- + \bar{\nu}_\mu$  (0,045%) og  $\Lambda^0 + e^- + \bar{\nu}_e$  (0,0057%).

For  $\Sigma^+$  observeres ikke de tilsvarende semileptoniske desintegrasjonsmodene  $n + e^+ + \nu_e$  og  $n + \mu^+ + \nu_\mu$ , men  $\Lambda^0 + e^+ + \nu_e$  observeres (0,0020%).

Disse eksemplene demonstrerer utvalgsregelen  $\Delta S = \Delta Q$  for semileptonisk desintegrasjon der særtallet forandres. Da ser vi bort fra leptonene og observerer forandringen i særtall,  $\Delta S$ , og forandringen i elektrisk ladning,  $\Delta Q$ , for hadronene.

Forklar, gjerne ved hjelp av Feynman-diagram, hvordan utvalgsregelen  $\Delta S = \Delta Q$  har en naturlig forklaring i kvarkmodellen.

**Oppgave 3:**

Nøytrinooscillasjoner ligner mye på oscillasjoner mellom  $K^0$  og  $\bar{K}^0$ , som ble observert eksperimentelt for mer enn 40 år siden. En vesentlig forskjell er at nøytrinoene er absolutt stabile partikler (så vidt vi vet), mens  $K_L^0$  (den langlivede  $K^0$ ) har en midlere levetid på  $\tau_L = 1/\Gamma_L = 5,1 \times 10^{-8}$  s, og  $K_S^0$  (den kortlivede  $K^0$ ) har en midlere levetid på  $\tau_S = 1/\Gamma_S = 9,0 \times 10^{-11}$  s.

Anta at en  $K^0$  eller  $\bar{K}^0$  ligger i ro. Analysen forenkles mye om vi antar at  $CP$ -symmetrien er eksakt. I denne tilnærmingen (som er mindre enn en prosent feil) er  $K_L$  og  $K_S$  egentilstander for  $CP$ ,

$$\begin{aligned} |K_S\rangle &= |K_1\rangle = \frac{1}{\sqrt{2}} (|K^0\rangle - |\bar{K}^0\rangle), \\ |K_L\rangle &= |K_2\rangle = \frac{1}{\sqrt{2}} (|K^0\rangle + |\bar{K}^0\rangle). \end{aligned}$$

Forskjellen i levetid skyldes at  $K_1$  har  $CP = +1$  og kan desintegre til to  $\pi$ -mesoner uten å bryte  $CP$ -invarians, mens  $K_2$  har  $CP = -1$  og må desintegre til tre  $\pi$ -mesoner dersom  $CP$  er en eksakt symmetri.

Anta at partikkelen produseres ved  $t = 0$  med bestemt særtall  $S = +1$ , altså i tilstanden

$$|\psi(0)\rangle = |K^0\rangle = \frac{1}{\sqrt{2}} (|K_1^0\rangle + |K_2^0\rangle).$$

Ved en senere tid  $t$  har vi da tilstanden

$$|\psi(t)\rangle = \frac{1}{\sqrt{2}} \left( e^{-\left(im_S + \frac{\Gamma_S}{2}\right)t} |K_1^0\rangle + e^{-\left(im_L + \frac{\Gamma_L}{2}\right)t} |K_2^0\rangle \right).$$

Her er  $m_S$  og  $m_L$  massene til  $K_S$  og  $K_L$ . Vi bruker naturlige enheter med  $\hbar = 1$  og  $c = 1$ .

- a) Skriv tilstanden  $|\psi(t)\rangle$  som en lineærkombinasjon av  $|K^0\rangle$  og  $|\bar{K}^0\rangle$ .

Hvis vi observerer partikkelen ved tiden  $t$ , enten som en  $K^0$  eller som en  $\bar{K}^0$ , hva er da sannsynligheten for  $K^0$ , og hva er sannsynligheten for  $\bar{K}^0$ ?

Hva er grenseverdiene for disse sannsynlighetene når  $t \rightarrow \infty$ ?

- b) Forutsatt at utvalgsregelen  $\Delta S = \Delta Q$  gjelder, så kan vi identifisere partikkelen som  $K^0$  eller  $\bar{K}^0$  dersom den desintegrerer semileptonisk. De to prosessene  $K^0 \rightarrow \pi^- + e^+ + \nu_e$  og  $\bar{K}^0 \rightarrow \pi^+ + e^- + \bar{\nu}_e$  har nemlig  $\Delta S = \Delta Q$  og er tillatte, mens  $K^0 \rightarrow \pi^+ + e^- + \bar{\nu}_e$  og  $\bar{K}^0 \rightarrow \pi^- + e^+ + \nu_e$  har  $\Delta S = -\Delta Q$  og er forbudte.

Forutsatt at  $CP$ -invariansen er eksakt, så må ratene for  $K^0 \rightarrow \pi^- + e^+ + \nu_e$  og  $\bar{K}^0 \rightarrow \pi^+ + e^- + \bar{\nu}_e$  være like store. Men det vi observerer i vårt tankeeksperiment, er tidsavhengige desintegrasjonsrater

$$\Gamma_+(t) = \Gamma(\psi(t) \rightarrow \pi^- + e^+ + \nu_e) \quad \text{og} \quad \Gamma_-(t) = \Gamma(\psi(t) \rightarrow \pi^+ + e^- + \bar{\nu}_e).$$

Vi skriver  $\Gamma_+$  for raten til slutt-tilstanden med et positron, og  $\Gamma_-$  for raten til slutt-tilstanden med et elektron.

Ut fra disse ratene kan vi definere en tidsavhengig asymmetriparameter

$$\delta(t) = \frac{\Gamma_+(t) - \Gamma_-(t)}{\Gamma_+(t) + \Gamma_-(t)}.$$

Vi har at  $\delta(t) = 1$  ved  $t = 0$  når vi starter med  $K^0$  ved  $t = 0$ . Vis at

$$\delta(t) = \frac{\cos(\Delta m t)}{\cosh(\gamma t)},$$

der  $\Delta m = m_L - m_S$  og  $\gamma = (\Gamma_S - \Gamma_L)/2$ . Merk at vi har forutsatt  $CP$ -invarians.

- c) Figuren nedenfor er fra et eksperiment i CERN (Gjesdal et al., Physics Letters B52, 113 (1974)), og viser asymmetrien  $\delta(t)$ . Tidsaksen går fra 0 til 2,5 ns.

Bruk figuren til å anslå omtrentlige verdier for massedifferensen  $\Delta m$  og ratene  $\gamma$  og  $\Gamma_S$ .

Gir dette eksperimentet noen informasjon om fortegnet til  $\Delta m$ ?

Hva blir forholdet  $|\Delta m|/m_K$ , der  $m_K$  er massen til et nøytralt  $K$ -meson?

Hvordan ser vi av figuren at  $CP$ -invariansen er brutt?

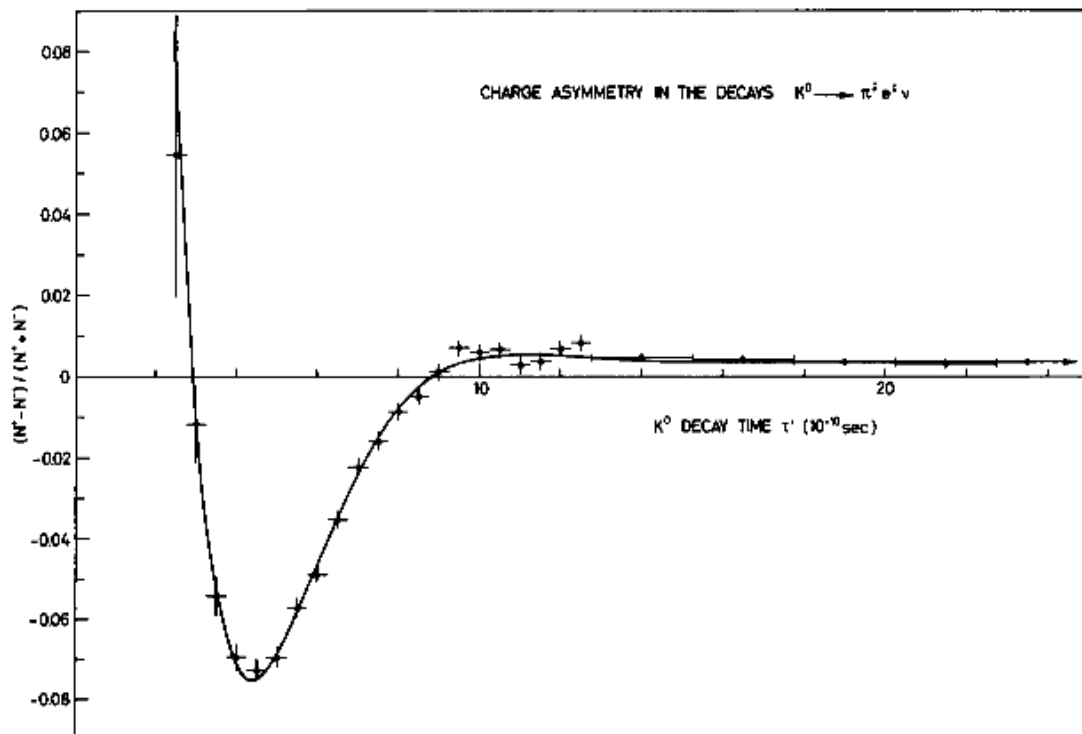


Fig. 1. The charge asymmetry as a function of the reconstructed decay time  $\tau'$  for the  $K_{e3}$  decays. The experimental data are compared to the best fit as indicated by the solid line.

Noen nyttige konstanter:

Lyshastigheten i vakuum	$c = 299\,792\,458 \text{ m/s}$
Permeabiliteten i vakuum	$\mu_0 = 4\pi \times 10^{-7} \text{ N/A}^2$
Permittiviteten i vakuum	$\epsilon_0 = 1/(\mu_0 c^2) = 8,854\,817\,187 \times 10^{-12} \text{ F/m}$
Den reduserte Plancks konstant	$\hbar = 1,054\,571\,6 \times 10^{-34} \text{ J s}$ $= 6,582\,1190 \times 10^{-22} \text{ MeV s}$
Elementærladningen	$e = 1,602\,176\,5 \times 10^{-19} \text{ C}$
Elektronmassen	$m_e = 9,109\,382 \times 10^{-31} \text{ kg} = 0,510\,998\,9 \text{ MeV}/c^2$
Protonmassen	$m_p = 1,672\,622 \times 10^{-27} \text{ kg} = 938,272\,0 \text{ MeV}/c^2$
Nøytronmassen	$m_n = 1,674\,927 \times 10^{-27} \text{ kg} = 939,565\,4 \text{ MeV}/c^2$
Deuteronmassen	$m_d = 3,343\,583 \times 10^{-27} \text{ kg} = 1\,875,612\,8 \text{ MeV}/c^2$

Partikkeldata:

$m$  = masse i  $\text{MeV}/c^2$ ,  $S$  = særtall,

$I$  = isospinn,  $G$  =  $G$ -paritet,  $J$  = spinn,  $P$  = paritet,

$C$  = ladningskonjugasjonssymmetri for en nøytral partikkel,

Mesoner	$m$	$S$	$I^G(J^{PC})$ eller $I(J^P)$	Mesoner	$m$	$S$	$I^G(J^{PC})$ eller $I(J^P)$
$\pi^0$	135,0		$1^-(0^{-+})$	$\pi^\pm$	139,6		$1^-(0^-)$
$K^0$	497,6	1	$\frac{1}{2}(0^-)$	$K^+$	493,7	1	$\frac{1}{2}(0^-)$
$\bar{K}^0$	497,6	-1	$\frac{1}{2}(0^-)$	$K^-$	493,7	-1	$\frac{1}{2}(0^-)$

Baryoner	$m$	$S$	$I(J^P)$	Baryoner	$m$	$S$	$I(J^P)$
$p$ (proton)	938,3		$\frac{1}{2}(\frac{1}{2}^+)$	$n$ (nøytron)	939,6		$\frac{1}{2}(\frac{1}{2}^+)$
$d$ (deuteron)	1875,6		$0(1^+)$	$\Delta$	1232		$\frac{3}{2}(\frac{3}{2}^+)$
$\Lambda^0$	1115,7	-1	$0(\frac{1}{2}^+)$	$\Sigma^0$	1192,6	-1	$1(\frac{1}{2}^+)$
$\Sigma^+$	1189,4	-1	$1(\frac{1}{2}^+)$	$\Sigma^-$	1197,4	-1	$1(\frac{1}{2}^+)$

**35. CLEBSCH-GORDAN COEFFICIENTS, SPHERICAL HARMONICS, AND  $d$  FUNCTIONS**

Note: A square-root sign is to be understood over every coefficient, e.g., for  $-8/15$  read  $-\sqrt{8/15}$ .

Notation:

$J$	$J$	...
$M$	$M$	...
$m_1$	$m_2$	
$m_1$	$m_2$	Coefficients
$\vdots$	$\vdots$	
$\vdots$	$\vdots$	

$1/2 \times 1/2$

1	0
+1/2 +1/2	1
+1/2 -1/2	1/2 1/2
-1/2 +1/2	1/2 -1/2
-1/2 -1/2	1

$Y_1^0 = \sqrt{\frac{3}{4\pi}} \cos \theta$

$Y_1^1 = -\sqrt{\frac{3}{8\pi}} \sin \theta e^{i\phi}$

$Y_2^0 = \sqrt{\frac{5}{4\pi}} \left( \frac{3}{2} \cos^2 \theta - \frac{1}{2} \right)$

$Y_2^1 = -\sqrt{\frac{15}{8\pi}} \sin \theta \cos \theta e^{i\phi}$

$Y_2^2 = \frac{1}{4} \sqrt{\frac{15}{2\pi}} \sin^2 \theta e^{2i\phi}$

$2 \times 1/2$

5/2	3/2
+5/2	1
+2 +3/2	1
+2 -1/2	1/5 4/5
+1 +1/2	4/5 -1/5
	5/2 3/2
	1/2 +1/2

$3/2 \times 1/2$

2	1
+2	2 1
+3/2 +1/2	1
+3/2 -1/2	1/4 3/4
+1/2 +1/2	3/4 -1/4
	2 1
	0 0
	-1 -1/2
	4/5 1/5
	1/5 -4/5
	5/2
	-2 -1/2
	1

$1 \times 1/2$

3/2	1/2
+3/2	1
+1 +1/2	1
+1 -1/2	1/3 2/3
0 +1/2	2/3 -1/3
	3/2 1/2
	-1/2 -1/2
	0 -1/2
	2/3 1/3
	1/3 -2/3
	3/2
	-3/2

$2 \times 1$

3	2
+3	1
+2 +1	1
+2 0	1/3 2/3
+1 +1	2/3 -1/3
	3 2 1
	+1 +1 +1

$3/2 \times 1$

5/2	3/2
+5/2	1
+3/2 +1	1
+3/2 0	2/5 3/5
+1/2 +1	3/5 -2/5
	5/2 3/2 1/2
	+1/2 +1/2 +1/2

$1 \times 1$

2	1
+2	1
+1 +1	1
+1 0	1/2 1/2
0 +1	1/2 -1/2
	2 1 0
	0 0 0
	+1 -1
	1/5 1/2 3/10
	1/5 1/2 3/10
	3 2 1
	0 0 0
	+1 -1
	1/5 -1/2 3/10
	0 -1
	2/5 1/2 1/10
	0 -1
	8/15 1/6 -3/10
	0 0
	1/5 -1/2 3/10
	-1 -1
	0 -1
	2/5 1/2 1/10
	0 0
	1/6 1/2 1/3
	0 0
	2/3 0 -1/3
	2 1
	-1 +1
	1/6 -1/2 1/3
	-1 -1

$Y_\ell^{-m} = (-1)^m Y_\ell^{m*}$

$d_{m,0}^\ell = \sqrt{\frac{4\pi}{2\ell+1}} Y_\ell^m e^{-im\phi}$

$2 \times 3/2$

7/2	5/2
+7/2	1
+2 +3/2	1
+2 +1/2	3/7 4/7
+1 +3/2	4/7 -3/7
	7/2 5/2 3/2
	+3/2 +3/2 +3/2

$3/2 \times 3/2$

3	2
+3	1
+3/2 +3/2	1
+3/2 +1/2	1/2 1/2
+1/2 +3/2	1/2 -1/2
	3 2 1
	+1 +1 +1
	+3/2 -1/2
	1/5 1/2 3/10
	+1/2 +1/2
	3/5 0 -2/5
	-1/2 +3/2
	1/5 -1/2 3/10

$d_{0,0}^1 = \cos \theta$

$d_{1/2,1/2}^{1/2} = \cos \frac{\theta}{2}$

$d_{1,1}^1 = \frac{1 + \cos \theta}{2}$

$d_{1/2,-1/2}^{1/2} = -\sin \frac{\theta}{2}$

$d_{1,0}^1 = -\frac{\sin \theta}{\sqrt{2}}$

$d_{1,-1}^1 = \frac{1 - \cos \theta}{2}$

$2 \times 2$

4	3
+4	1
+2 +2	1
+2 +1	1/2 1/2
+1 +2	1/2 -1/2
	4 3 2
	+2 +2 +2
	+2 0
	3/14 1/2 2/7
	+1 +1
	4/7 0 -3/7
	0 +2
	3/14 -1/2 2/7

$d_{3/2,3/2}^{3/2} = \frac{1 + \cos \theta}{2} \cos \frac{\theta}{2}$

$d_{3/2,1/2}^{3/2} = -\sqrt{3} \frac{1 + \cos \theta}{2} \sin \frac{\theta}{2}$

$d_{3/2,-1/2}^{3/2} = \sqrt{3} \frac{1 - \cos \theta}{2} \cos \frac{\theta}{2}$

$d_{3/2,-3/2}^{3/2} = -\frac{1 - \cos \theta}{2} \sin \frac{\theta}{2}$

$d_{1/2,1/2}^{3/2} = \frac{3 \cos \theta - 1}{2} \cos \frac{\theta}{2}$

$d_{1/2,-1/2}^{3/2} = -\frac{3 \cos \theta + 1}{2} \sin \frac{\theta}{2}$

$3/2 \times 3/2$

3	2
+3	1
+3/2 +3/2	1
+3/2 +1/2	1/2 1/2
+1/2 +3/2	1/2 -1/2
	3 2 1
	+1 +1 +1
	+3/2 -1/2
	1/5 1/2 3/10
	+1/2 +1/2
	3/5 0 -2/5
	-1/2 +3/2
	1/5 -1/2 3/10

$d_{2,2}^2 = \left( \frac{1 + \cos \theta}{2} \right)^2$

$d_{2,1}^2 = -\frac{1 + \cos \theta}{2} \sin \theta$

$d_{2,0}^2 = \frac{\sqrt{6}}{4} \sin^2 \theta$

$d_{2,-1}^2 = -\frac{1 - \cos \theta}{2} \sin \theta$

$d_{2,-2}^2 = \left( \frac{1 - \cos \theta}{2} \right)^2$

$d_{1,1}^2 = \frac{1 + \cos \theta}{2} (2 \cos \theta - 1)$

$d_{1,0}^2 = -\sqrt{\frac{3}{2}} \sin \theta \cos \theta$

$d_{1,-1}^2 = \frac{1 - \cos \theta}{2} (2 \cos \theta + 1)$

$d_{0,0}^2 = \left( \frac{3}{2} \cos^2 \theta - \frac{1}{2} \right)$

**Figure 35.1:** The sign convention is that of Wigner (*Group Theory*, Academic Press, New York, 1959), also used by Condon and Shortley (*The Theory of Atomic Spectra*, Cambridge Univ. Press, New York, 1953), Rose (*Elementary Theory of Angular Momentum*, Wiley, New York, 1957), and Cohen (*Tables of the Clebsch-Gordan Coefficients*, North American Rockwell Science Center, Thousand Oaks, Calif., 1974). The coefficients here have been calculated using computer programs written independently by Cohen and at LBNL.